

東北大学工学部 正員 工博 岩崎 敏夫
〃 〃 沼田 淳

1. 緒言

海岸護岸の越波の問題は、護岸天端高、消波工、あるいは、背後の排水施設の合理的な設計方法を確立するという立場から、すでに、内外の研究機関において数多くの実験的な研究が行なわれ、定性的な傾向は、ほぼ把握されているようである。しかし、その機構、あるいは、フルードの相似則、を適用した実験結果の現地との適合性については、まだ明確にされていないようである。

本報告は、筆者らが、山形県庄内海岸沿いの一級国道7号線の道路護岸（図-1）について行った越波に関する実験結果を、建設省において、現地観測の結果得られた資料と比較し、実験結果の現地との適合性について若干の検討を加えたものである。

図-1 観測地点位置図

2. 庄内海岸の概要

一級国道7号線は、新潟へ青森を結ぶ日本海側の幹線であるが、山形県内86kmの区間は、地形の關係上、ルートは狭小、急峻な海岸線を走っている箇所が多く、日本海岸特有の冬季風浪によって、交通に支障を来すことがしばしばである。模型実験あるいは現地観測の対象とした海岸および護岸の諸元は表-1、図-2の如くであるが、両地帯とも岩礁が各所に存在し、海底の起伏のはげしい所である。



表-1 観測地点諸元

3. 現地観測および実験の方法

(1) 現地観測

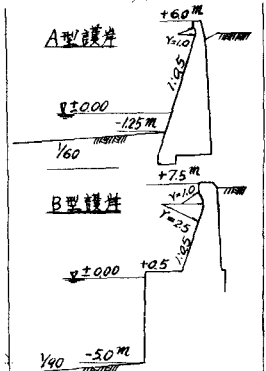
護岸における越上高、うちあげ高は、護岸直後の陸上にたてたポールおよび護岸表面に印した目盛により目視観測したもので、毎日、9時、15時に10分づつ観測し、夫々、各最大および各最大越上高が求められている。越波量は、護岸背後にトタン張りの越波侵板を設け、越波した波をこのトタン板に受け止め、導水路によって、ドラム缶に集め、10分間の量を測定している。なお、越波侵板の延長は、No.174地帯は30m、No.225地帯は10mである。

(2) 模型実験

実験に使用した水路は長さ46m、高さ1.5m、幅1mで、一端にフラッター型造波機を取りつけ、他端には砂利をおき、上面をモルタル仕上げして所定の海底勾配を作り、その上に護岸模型を設

| 地区 | 地帯 | 前面水深 | 海底勾配 | 護岸形式 | 天端高 | 路面高 | テトラ | 消波工 |
|----|--------|---------|------|------|-------|-------|-----|-----|
| 堅苦 | No.174 | -125 | 1/60 | A | +6.00 | +5.10 | 済 | |
| 洋 | , | 225-500 | 1/60 | B | +7.80 | +7.25 | 予定 | |

図-2 護岸形状



置した。水路の上部は、厚さ12mmの鉄板を高さ2mの高さに覆い、造波機の後方にあら送風機から風を水面に平行に送るようとした。冲波浪高、護岸における浪の越波量、うち上げ高さは、それぞれ、階段抵抗式測定計、集電式測定計および集電式うち上げ計を使用し、増巾器を通してペン書きオシログラフに記録させた。越波量は護岸模型の背後に集水器(巾1m×長さ2m×深さ30cmで20cmまで仕切つてある)を取り付け、越波した水は水槽底に設けたパイプを通じて水路外に取り出しXスリーナーを用いて水量を測定した。なお、模型縮尺は1/6である。

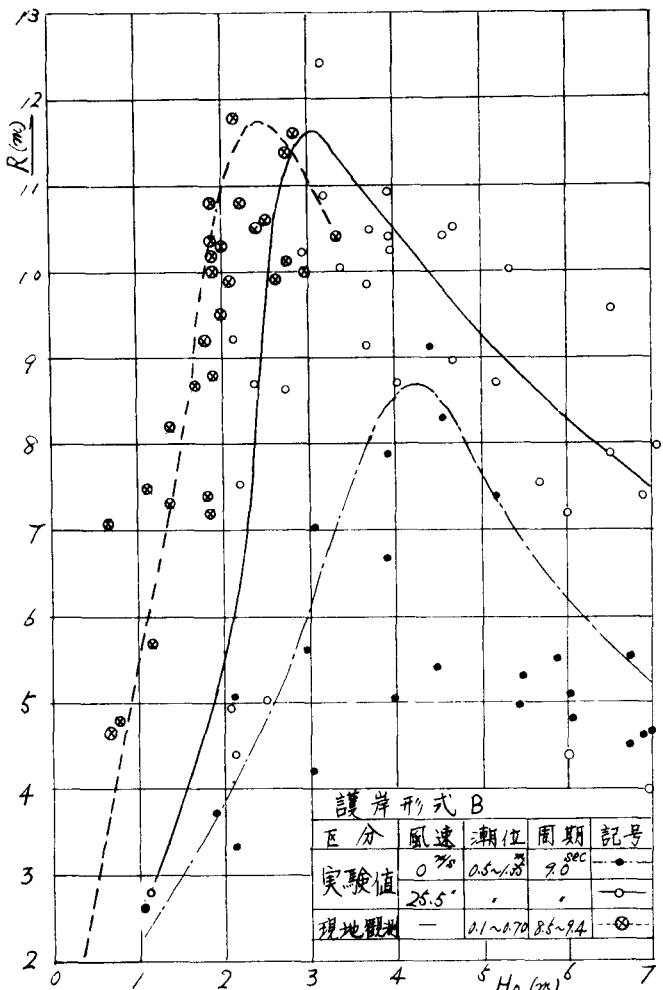
4. 実験結果と現地観測値との比較

図-3、4は、護岸設置水深が比較的深いB型護岸の冲波浪高と浪のうち上げ高さ、又は越波量との関係を示したものである。実験値は風なしの場合と風速25.5㎧(現地換算)の場合を区別して記入してあるが、現地観測値は、現地での風の資料が得られていないので、観測資料を周期のみによって区分しプロットした。実験結果では、浪高が3~4mのとき、最大のうち上げ高さまたは越波量を示すことが分かるが、現地観測の資料では、沖波浪高3.0m以上の記録がほとんど得られていないので、この点明確でない。また、実験結果では、風のない場合のうち上げ高さあるいは、越波量が、風のある場合に比較して極めて小さい値となっているが、これは、風のない場合、曲線波返しの効果が極めて顕著となるためである。この点、現地観測の資料では、実験結果に示されるような風のある場合と

ない場合の差のバラツキ程のバラツキは見られない。このことは、観測時期が1~2月で、日本海特有的冬季季節風の卓越するときであり、観測値の大半が風の強いときであったためと考えられ、観測時の風向風速について現在検討中である。

次に、実験結果と現地観測値とを比較してみる。図-5は、図-3の曲線から求めた R_{10} と H_0 との関

図-3 沖波浪高とうち上げ高との関係



原点プロットしたもので、この図には、周期 11.2 sec の場合についても示してある。この図から、実験値と観測値の $\%$ の値を比較すると、観測値では、波高が 20 m 程度までは、 $\% \approx 55$ で、波高の増加と共に $\% \approx 18$ と直線的に増加し、波高 30 m 程度で $\% \approx 40$ となっている。これに反し、実験結果では、風なしの場合、波高 40 m 程度まで $\% \approx 20$ 、風ありの場合には波高 20 m までは $\% \approx 25$ で、最大うちあけ高を示す波高 30 m 程度で $\% \approx 3 \sim 4$ となっている。すなわち、観測値は、実験値に比べ $\%$ の値が大きく、波高が 20 m 以下のとき特にその差が大きくなっている。しかし最大のうちあけ高さおよびそのときの $\%$ の値は、ほぼ一致するようである。波高の小さいときは大きい差があるのは、 20 m 以下の実験データが極めて少なかったことも一因と考えられるが、実験では水塊となつて飛び上り高さを測定しているのに対して、現地では、しづきの飛び上り高さまでを測定していることが主な原因と思われる。

ちなみに、実験の写真記録から、しづきの飛び上り高さを読みとりると、波高 30 m 程度で 20 m という値も得られ、現地と実験との観測方法を統一しないと、厳密な比較はできないと思われる。

越波量については、図-4にみられるように、波高 20 m ～ 30 m 程度のときは、観測値の大部が、実験値の風なしの場合の曲線と風ありの曲線の間に包含されるが、観測値は、すべて $1 \times 10^3 \text{ m}^3$ 波以下の値で、実験値の最大 $5 \times 10^3 \text{ m}^3$ 波に比べると、かなり小さくなっている。これは、前述した如く、現地では、海底の起伏がはげ

図-4 沖浪波高と越波量との関係

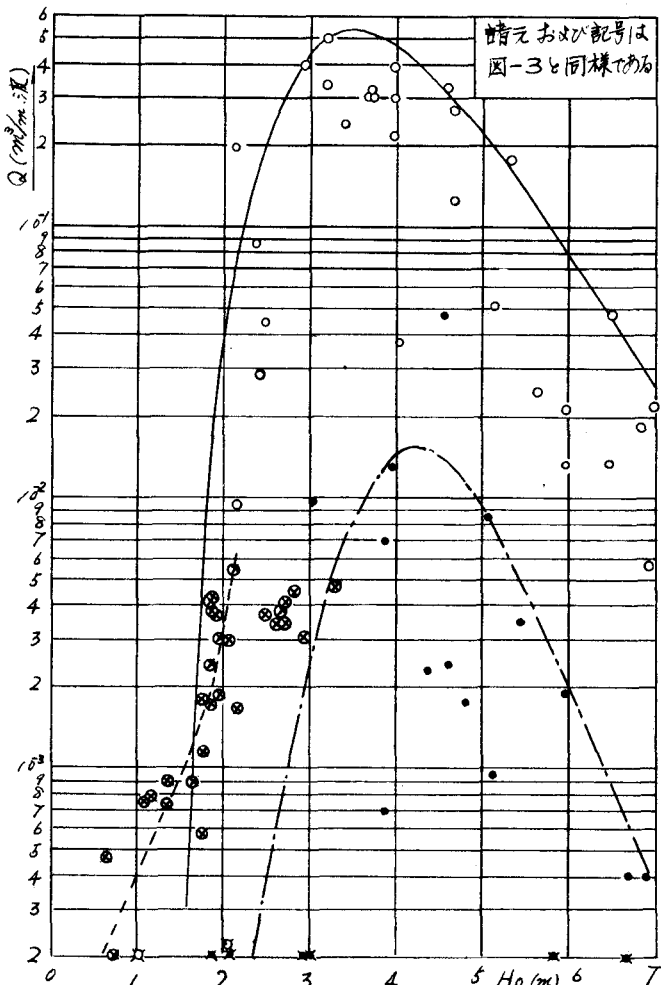
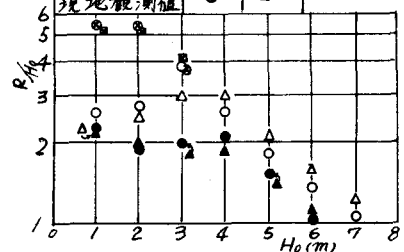


図-5 実験値と観測値の $\%$ の比較

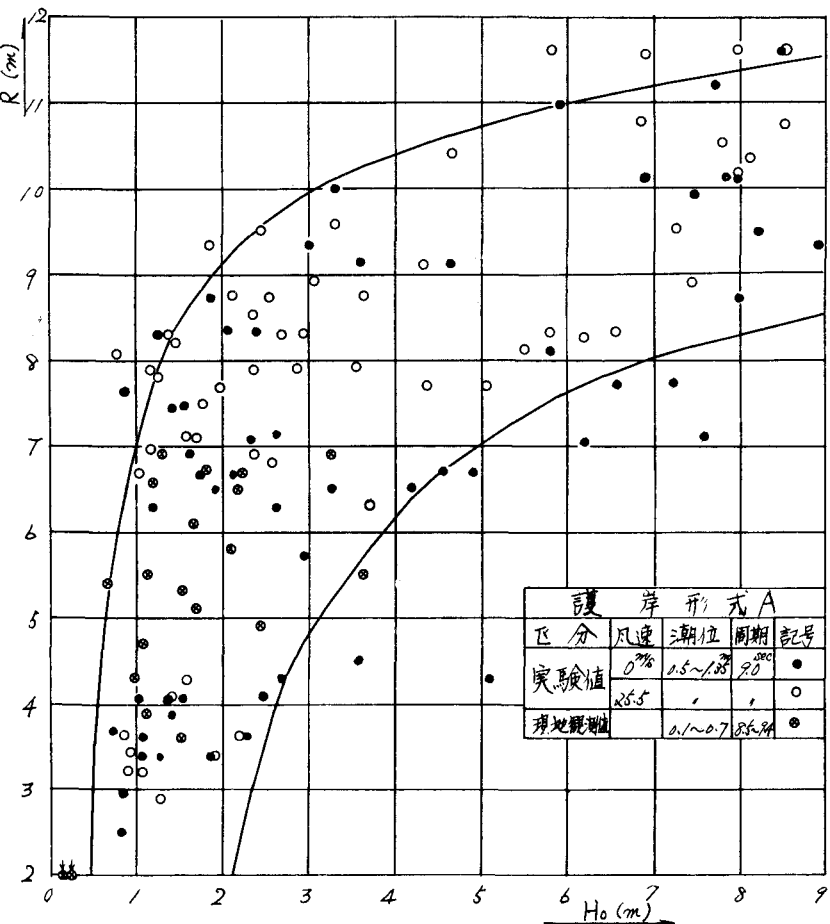
| 区分 | 周期 | 9.0 sec | 11.2 sec |
|-----|---------------------|------------------|----------------------|
| | | 風速0% | 風速 255 km/h |
| 実験値 | 風速0% | ○ | ▲ |
| | + 255 km/h | ○ | △ |



しく、岩による波のエネルギーの損失が大きいためではなかろうかと思われる。

図-6は、護岸設置水深の比較的浅いA型護岸の沖波波高と波のうち上げ高との関係を示したものである。この場合も、殆んどの波が護岸沖合で碎波するところとなり、実験値自身、相当なバラツキがある。B型護岸のようにある波高の所で最大うち上げ高を示すという傾向はみられない。同一潮位のデーターだけ

図-6 沖波波高とうち上げ高との関係



で、 H_o と R の関係を調べると H_o ～ 2m までは H_o の増加と共に R が急激に増加し、 H_o が更に大きくなると R は一時減少し、その後再び徐々に増加して行く傾向がみられた。これは単に入射波の特性とうち上げ高を関連づけたためで、このようなるときは、碎波後の波の特性との関連を考える必要があると思われる。この場合の観測値は、実験値の下限と上限を示す曲線の間に実験値と同じ程度のバラツキで分布しているが、波高3m以上の観測値が殆んどないので、充分な考察はできなかった。

5 まとめ

海岸護岸の越波に関する実験のScale effect を知る目的で、実験値と現地観測値との比較を試みたが、現地観測資料が少く、明確な結論を得ることができなかった。今後は、実験と現地での観測方法を同一にして資料の集積を図り、比較する二点が必要と思われる。

参考文献

- 1) 東北地方建設局工事部: 庄内海岸波浪調査中間報告書 昭40. 9
- 2) 岩垣雄一: 海岸堤防論、水工学シリーズ64-08 昭39. 7